

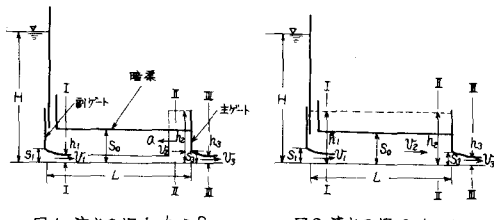
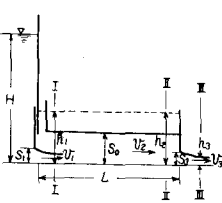
各種水理構造物は水路または構造物付近に発生する種々の水理現象によって周期的な変動水圧を受けて振動することがあるが、一般にこれらの現象は多くの複雑な原因が組合された状態で現われる。水路内の流れの不安定現象を取扱った研究^{1,2)}として開水路流れに対するものと暗渠内流れに対するものがあるが、不安定現象の原因は水路の形狀によってかなり異なったものとなる。

この研究で取扱っているような放水路に主ゲートと副ゲートが設置されている場合の流れの不安定現象についての研究は少なく、K.Petriat の模型実験による水圧力の変動の測定結果³⁾のみにとどまっている。

1. 準定常理論による流れの解析

放水路流れの不安定現象を解析するために用いた仮定は次のようなものである。 1) 流れは1次元流れとする。 2) 自由表面の圧力は大気圧とする。 3) 非定常流れの場を準定常流れの場とする。

1.1 基礎式 放水路流れの不安定現象を解析するために図1,2のようないくつかのモデル化した流れの場を考えた。

図1 流れの場1 $h_2 \geq S_o$ 図2 流れの場2 $h_2 = h_3$

H = ダム水位	L = 放水路の長さ
h_1 = 検査面I～IIの水位 ($= C_o S_1$)	U_1 = 検査面I～IIの流速
h_2 = " I～IIの水位	U_2 = " II～IIIの流速
h_3 = 検査面II～IIIの水位 ($= C_o S_3$)	U_3 = 検査面II～IIIの流速
S_1 = 副ゲートの開き	α = 検査面II～IIIの水位の前進速度 (伝播速度)
S_3 = 主ゲートの開き	
S_o = 放水路の高さ	C_o = 絶流係数

まず流れの場1の安定、不安定に関する関係式は Bernoulliの式と連続の式とから次のようにして求められる。

$$\text{検査面I～IIについて} \quad \text{エネルギー式} \quad \frac{V_1^2}{2g} + h_1 = \frac{V_2^2}{2g} + h_2 + \Delta E \quad (1) \quad \text{連続の式} \quad U_1 h_1 - U_2 S_o = \alpha (S_o - h_1) \quad (2)$$

$$\text{検査面II～IIIについて} \quad \text{エネルギー式} \quad \frac{V_2^2}{2g} + h_2 + \Delta E = \frac{V_3^2}{2g} + h_3 \quad (3) \quad \text{連続の式} \quad U_2 S_o = U_3 h_3 \quad (4)$$

$$\text{ここに} \Delta E \text{は跳水による損失を示すもので} \quad \Delta E = (h_2 - h_1) \left[\frac{(h_1 + h_2)[V_1^2 S_o^2 - \{U_1 h_1 - \alpha(S_o - h_1)\}^2]}{4 h_1 S_o (\alpha^2 + 2\alpha \alpha + \alpha^2)} - 1 \right] \quad (5)$$

$$\alpha = 0, S_o = h_2 \text{とすれば(5)式は} \quad \Delta E = \frac{(h_2 - h_1)^3}{4 h_1 h_2} \text{となり、開水路流れの跳水による損失が得られる。}$$

$$(2) \sim (5) \text{式を用いて } h_2 \text{に着目する式を求めると} \quad h_2^3 + A h_2^2 + B h_2 + C = 0 \quad (6)$$

$$C = 2 h_1^2 \sqrt{\frac{S_o h_1 (H - h_1)}{(S_o - h_1)}} \quad \text{が得られ(6)式を解けば} \alpha = 0 \text{に対応する} [h_2]_{\alpha=0} \text{と算出できることができる。}$$

一方前進速度 α は検査面I～II間の運動量の式と(2)式から求められ、 $\alpha = 0$ に対応する $[h_2]_{\alpha=0}$ は次式で示される。

$$[h_2]_{\alpha=0} = \sqrt{h_1^2 + \frac{4 h_1}{S_o} (S_o - h_1)(H - h_1)} \quad (7)$$

(6)(7)式に任意の h_1 と h_3 を与えて $[h_2]_{\alpha=0}$ と $[h_2]_{\alpha=0}$ を算出し、両者から検査面II～IIIの水位が前進速度を有するかどうかが求められ、流れの場1の流れが安定であるか不安定であるかが判別される。

次に流れの場2の安定、不安定に関する関係式は流れの場1と同様に流れの場2における検査面

I ~ I の流入流量 Q_1 , 檢査面 III ~ III の流出流量 Q_3 の流量差 $\Delta Q (= Q_3 - Q_1)$ から得られ, $\Delta Q = 0$ あるいは $\Delta Q \neq 0$ となる条件から流れが安定であるか不安定であるかが求められる。

$$\text{検査面 I ~ I の単位幅当たりの流量 } Q_1 \text{ は } Q_1 = C_c S_1 \sqrt{2g(H-h_1)} \quad (8)$$

$$\text{検査面 III ~ III の単位幅当たりの流量 } Q_3 \text{ は } Q_3 = C_c S_3 \sqrt{2g \left\{ 2 \frac{C_c S_1}{S_0} (H-h_1) - \left(\frac{C_c S_1}{S_0} \right)^2 (H-h_1) + h_1 - h_3 \right\}} \quad (9)$$

となる。 Q_3 の説明に際してはエネルギー損失 ΔE として $\Delta E = \frac{V^2}{2g} (1 - \frac{C_c S_1}{S_0})^2$ なる急拡大による損失を考慮している。また(8)~(9)式における h_1 は $[h_2]_{at=0}$ に対応するものである。

1.2 流れの不安定現象の周期 流れの場 1, 2 に対する安定、不安定は $a=0$, $a \neq 0$ あるいは $\Delta Q=0$, $\Delta Q \neq 0$ によって判別でき、準定常的な考え方から、流れの場 1 → 流れの場 2 になる周期 T_1 および流れの場 2 → 流れの場 1 になる周期 T_2 は次のようにして求められる。

$$T_1 = \frac{L}{a}, \quad T_2 = \frac{L(S_0 - h_1)}{\Delta Q} \quad (10)$$

$$\text{不安定現象の振動数 } f \text{ は } f = \frac{1}{T_1 + T_2} \quad (11) \quad \text{ で与えられる。}$$

2. 実験結果と比較

$H=0.8m$, $L=0.3m$, $S_0=0.12m$ なる条件で副ゲートが設置されていける断面がベルマウス状になった矩形断面のダム放水路で得られた水理実験の結果⁴⁾と同一の条件を(6)(7)式と(8)(9)式に代入し, $a=0$, $a \neq 0$ および $\Delta Q=0$, $\Delta Q \neq 0$ なる安否、不安定領域と算出し、比較したのが図3である。また(11)式で求められる不安定現象の振動数と上記の水理実験結果とを比較したのが図4である。

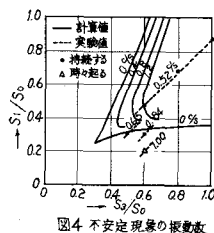
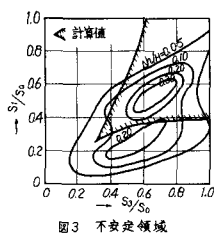


図3の //// 部分が(6)~(9)式で算出さ

れる不安定領域であり、 $\Delta h/H$ をパラメータとして等高線で示してあるのが実験値である。 $\Delta h/H$ の値が大きくなることでこの範囲は不安定現象が激しく起つていい部分である。実験値と準定常理論から算出される範囲とはかなり一致しているよう

であるが、副ゲートの開き (S_1/S_0) が小さい範囲で実験と計算とは異なった結果となつていい。これは副ゲートが設置されていける断面が実験ではベルマウス状になつたため流れが図1に仮定した流れの場になつていいが、たことによるものと考えられる。

図4に不安定現象の振動数が示してあるが、実験値と計算値とは差が認められるが、傾向的には一致は認められるようである。

3. 結 言

ダム放水路流れの不安定現象を準定常理論で解析し、水理実験の結果と比較したが傾向的にかなりよく一致が得られた。

- 参考文献 1) 岩佐：用水路水流の不安定限界について 土木学会誌 40-6 S 30-6
 2) W.H. Li & C.C. Patterson : Free Outlets and Self-Priming Action of Culverts Proc. ASCE HY3 June '59
 3) K. Petrikat : Vibration Tests on Weirs and Bottom Gates Water Power May '58
 4) 吉岡：ダム放水路のゲートの振動に関する水理実験 日本造船技術 30巻1号 '69